

УДК 539.3

© 1995 г. А. Г. ГОРШКОВ, Д. В. ТАРЛАКОВСКИЙ, А. М. ШУКУРОВ

НЕСТАЦИОНАРНЫЕ ВОЛНЫ ОТ СФЕРИЧЕСКОЙ ОБОЛОЧКИ В УПРУГОМ ПОЛУПРОСТРАНСТВЕ

Рассматривается осесимметрическая задача о распространении в упругом полупространстве нестационарных волн от сферической полости, подкрепленной тонкой упругой оболочкой. Подобные вопросы для акустической среды исследованы в [1], где разрешающая система интегральных уравнений Вольтерра решалась численно. В данной работе применяется методика, изложенная в [2] и позволяющая избежать редукции бесконечных систем уравнений.

1. Постановка задачи. Пусть в однородном изотропном линейно упругом полупространстве $z \geq 0$ (O_2xyz — прямоугольная декартова система координат) на расстоянии h от плоскости $z = 0$ на оси O_2z расположен центр O сферической полости радиуса $r = 1$ ($h > 1$). Поверхность полости подкреплена тонкой упругой сферической оболочкой того же радиуса. В начальный момент времени $\tau = 0$ к внутренней поверхности оболочки приложена симметричная относительно оси O_2z поверхностная нагрузка. Здесь и далее используются безразмерные величины, аналогичные примененным в [2], со следующими единицами измерения: длина — радиус полости R , время — $R/c_1^{(0)}$, масса — $\rho_0 R^3$, где ρ_0 , $c_1^{(0)}$ и $c_2^{(0)}$ — плотность и скорости распространения волн расширения-скатия и формоизменения в среде, занимающей полупространство. Исключение составляют координаты векторов контактного напряжения p_0 и нагрузки на оболочку p_s , отнесенные к модулю упругости материала оболочки E_1 .

Возмущенные движения среды и оболочки рассматриваются в сферической системе координат (r, θ, φ) с центром в точке O (угол θ отсчитывается от положительного направления оси Oz , $0 \leq \theta \leq \pi$). Начально-краевая задача для среды относительно потенциалов смещений φ_0 и ψ_0 с учетом осевой симметрии имеет следующий вид (точками обозначено дифференцирование по времени τ):

$$\ddot{\varphi}_0 = \Delta \varphi_0, \quad \eta^2 \ddot{\psi}_0 = \Delta \psi_0 - \psi_0 / (r^2 \sin^2 \theta) \quad (1.1)$$

$$\sigma_{zz}^{(0)}|_{z=0} = \sigma_{xz}^{(0)}|_{z=0} = \sigma_{yz}^{(0)}|_{z=0} = 0 \quad (u_{x0}|_{z=0} = u_{y0}|_{z=0} = u_{z0}|_{z=0} = 0) \quad (1.2)$$

$$\sigma_{rr}^{(0)}|_{r=1} = \beta_1 p_0, \quad u_0|_{r=1} = w_1$$

$$\sigma_{\theta\theta}^{(0)}|_{r=1} = \beta_1 q_0 = k_{10} (v_0|_{r=1} - u_1 + \delta_1 \Phi_1 / 2) \quad (1.3)$$

$$\varphi_0 = O(1), \quad \psi_0 = O(1), \quad r \rightarrow \infty \quad (1.4)$$

Здесь Δ — оператор Лапласа в сферической системе координат; $\sigma_{\alpha\beta}^{(0)}$ — компоненты тензора напряжений среды в соответствующей системе координат; u_{x0} , u_{y0} , u_{z0} — координаты вектора перемещений среды в декартовой системе координат; u_0 и v_0 , w_1 и u_1 , p_0 и q_0 — соответственно нормальные и тангенциальные составляющие векторов перемещений среды и оболочки, а также вектора контактного напряжения p_0 ; Φ_1 — угол поворота нормали к срединной поверхности оболочки;

δ_1 — ее толщина. В соотношениях (1.2) вариант граничных условий без скобок соответствует свободной поверхности полупространства, а условия в скобках отвечают наличию жесткой стенки на плоскости $z = 0$. Коэффициент k_{10} в (1.3) позволяет рассматривать два случая контакта окружающей среды и оболочки (при $k_{10} = 0$ имеем свободное проскальзывание, а при $k_{10} = \infty$ — жесткое сцепление). Напряжения $\sigma_{ab}^{(0)}$ и перемещения среды связаны с потенциалами Φ_0 и Ψ_0 известными дифференциальными операторами линейной теории упругости.

Уравнения осесимметричного движения сферической оболочки запишем в матричном виде:

$$\gamma_1^2 \ddot{\mathbf{u}} = \mathbf{L}(\mathbf{u}) + \alpha_0 (\mathbf{p}_0 + \mathbf{p}_s) \quad (1.5)$$

$$\mathbf{u} = \|u_1, w_1, \Phi_1\|^T, \quad \mathbf{L} = \|L_i\|_{3 \times 3}$$

$$\mathbf{p}_0 = \|q_0, p_0, 0\|^T, \quad \mathbf{p}_s = \|q_s, p_s, 0\|^T$$

где \mathbf{L} — матрица с элементами в виде дифференциальных операторов, вид которых приведен в [3]; p_s и q_s — нормальная и тангенциальная составляющие вектора \mathbf{p}_s нагрузки на оболочку; индекс (T) обозначает операцию транспонирования.

Использованные в соотношениях (1.1)–(1.5) коэффициенты определяются так:

$$\eta = \frac{c_1^{(0)}}{c_2^{(0)}}, \quad c_1^{(0)2} = \frac{\lambda_0 + 2\mu_0}{\rho_0}, \quad c_2^{(0)2} = \frac{\mu_0}{\rho_0}$$

$$\beta_1 = \frac{E_1}{\lambda_0 + 2\mu_0}, \quad \alpha_0 = \frac{1 - \nu_1^2}{\delta_1}, \quad \gamma_1 = \frac{c_1^{(0)}}{c_{01}}, \quad c_{01}^2 = \frac{E_1}{\rho_1 (1 - \nu_1^2)},$$

где λ_0 и μ_0 — упругие постоянные Ламе окружающей среды, ρ_1 и ν_1 — плотность и коэффициент Пуассона материала оболочки.

Постановку задачи замыкают начальные условия, соответствующие состоянию покоя системы в начальный момент времени $\tau = 0$:

$$\begin{aligned} \varphi_0|_{\tau=0} &= \dot{\varphi}_0|_{\tau=0} = \psi_0|_{\tau=0} = \dot{\psi}_0|_{\tau=0} = u_1|_{\tau=0} = \dot{u}_1|_{\tau=0} = w_1|_{\tau=0} = \dot{w}_1|_{\tau=0} = \\ &= \Phi_1|_{\tau=0} = \dot{\Phi}_1|_{\tau=0} = 0 \end{aligned} \quad (1.6)$$

2. Метод решения. К начально-краевой задаче (1.1)–(1.6) применим преобразование Лапласа по времени τ (значок L — обозначает изображение, s — параметр преобразования).

Изображения потенциала φ_0^L , радиальных напряжений σ_n^L , перемещений u_0^L , w_1^L и нормальной нагрузки p_s^L представим в виде рядов по полиномам Лежандра $P_n(\cos \theta)$, а изображения потенциала ψ_0^L , тангенциальных напряжений σ_{ab}^L , перемещений u_1^L , u_1^L , угла поворота нормали Φ_1^L и касательной нагрузки q_s^L — в виде рядов по полиномам Гегенбауэра — $\sin \theta C_{n-1}^{3/2}(\cos \theta)$.

Тогда уравнения колебания оболочки (1.4) запишутся так:

$$\gamma_1^2 s^2 \mathbf{u}_n^L(s) = \mathbf{L} \mathbf{u}_n^L(s) + \alpha_0 (\mathbf{p}_{0n}^L(s) + \mathbf{p}_{sn}^L(s)) \quad (2.1)$$

$$\mathbf{u}_n^L(s) = \|u_{1n}^L(s), w_{1n}^L(s), \Phi_{1n}^L(s)\|^T,$$

$$\mathbf{p}_{0n}^L(s) = \|q_{0n}^L(s), p_{0n}^L(s), 0\|^T, \quad \mathbf{p}_{sn}^L(s) = \|q_{sn}^L(s), p_{sn}^L(s), 0\|^T$$

а уравнения движения среды (1.1) и условия контакта (1.3) примут следующий вид:

$$s^2 \varphi_{0n}^L = \Delta_n \varphi_{0n}^L, \quad \eta^2 s^2 \psi_{0n}^L = \Delta_n \psi_{0n}^L \quad (2.2)$$

$$\Delta_n = \frac{1}{r^2} \frac{\partial}{\partial r} \left[r^2 \frac{\partial}{\partial r} \right] - \frac{n(n+1)}{r^2}$$

$$\sigma_{mn}^{(0)L} |_{r=1} = \beta_1 p_{0n}^L(s), \quad u_{0n}^L |_{r=1} = w_{1n}^L(s)$$

$$\sigma_{0n}^{(0)L} |_{r=1} = \beta_1 q_{0n}^L(s) = k_{10} (v_{0n}^L |_{r=1} - u_{1n}^L + \frac{\delta_1}{2} \Phi_{1n}^L) \quad (2.3)$$

Здесь индексом n отмечены коэффициенты соответствующих рядов; $I_n = \|l_{ijn}\|_{3 \times 3}$ — матрица со следующими элементами [3]:

$$l_{11n} = 1 - n(n+1) - \alpha_1, \quad l_{12n} = \alpha_2, \quad l_{13n} = -\alpha_7$$

$$l_{21n} = \alpha_2 n(n+1), \quad l_{22n} = -\alpha_3 - \alpha_7 n(n+1), \quad l_{23n} = \alpha_7 n(n+1)$$

$$l_{31n} = -\alpha_4, \quad l_{32n} = \alpha_4, \quad l_{33n} = 1 - n(n+1) - \alpha_5$$

$$\alpha_1 = v_1 + \alpha_7, \quad \alpha_2 = 1 + \alpha_1, \quad \alpha_3 = 2(1 + v_1), \quad \alpha_4 = 12\alpha_6/\delta_1$$

$$\alpha_5 = v_1 + \alpha_4, \quad \alpha_6 = (1 - v_1) k^2/(2\delta_1), \quad \alpha_7 = \delta_1 \alpha_6, \quad k^2 = 0,86$$

В соотношениях (2.1)–(2.3) не отражены условия (1.2)–(1.4). Учитывая свойства модифицированных функций Бесселя $I_{n+\nu_2}(x)$ и $K_{n+\nu_2}(x)$, образующих фундаментальную систему решений уравнений (2.2), условия (1.2) и (1.4) будут удовлетворены, если изображения потенциалов φ_0^L и ψ_0^L представить так:

$$\varphi_0^L = \sum_{n=0}^{\infty} \left[\frac{1}{\sqrt{r}} A_n^L(s) K_{n+\nu_2}(rs) P_n(\cos \theta) + \frac{1}{\sqrt{r_1}} C_n^L(s) K_{n+\nu_2}(r_1 s) P_n(\cos \theta_1) \right] \quad (2.4)$$

$$\begin{aligned} \psi_0^L = \sum_{n=1}^{\infty} & \left[\frac{1}{\sqrt{r}} B_n^L(s) K_{n+\nu_2}(r_1 \eta s) \frac{d}{d\theta} P_n(\cos \theta) + \right. \\ & \left. + \frac{1}{\sqrt{r}} D_n^L(s) K_{n+\nu_2}(r_1 \eta s) \frac{d}{d\theta} P_n(\cos \theta_1) \right], \quad P_n'(x) = C_{n-1}^{3/2}(x) \end{aligned} \quad (2.5)$$

где $A_n^L(s)$, $B_n^L(s)$, $C_n^L(s)$ и $D_n^L(s)$ — неизвестные функции, которые определяются из граничных условий; r_1 и θ_1 — координаты сферической системы с началом в точке O_1 , симметричной точке O относительно плоской границы полупространства $z = 0$.

Учитывая связь между переменными r , θ и r_1 , θ_1 на плоскости $z = 0$ и удовлетворяя граничным условиям (1.2), получим зависимости между функциями $A_n^L(s)$, $B_n^L(s)$, $C_n^L(s)$ и $D_n^L(s)$:

$$C_n^L(s) = \mp (-1)^n A_n^L(s), \quad D_n^L(s) = \mp (-1)^n B_n^L(s) \quad (2.6)$$

где верхний знак соответствует свободной поверхности, а нижний — жесткой стенке.

Используя теорему сложения для функций $K_{n+\nu_2}(x)$ [4], представим коэффициенты φ_{0n}^L и ψ_{0n}^L следующим образом:

$$\begin{aligned} \varphi_{0n}^L = \frac{1}{\sqrt{r}} & \left[A_n^L(s) K_{n+\nu_2}(rs) \mp (-1)^n (2n+1) I_{n+\nu_2}(rs) \times \right. \\ & \times \sum_{p=0}^{\infty} (-1)^p A_p^L(s) \sum_{\sigma=|p-n|}^{n+p} b_{\sigma}^{(n,p)} \sqrt{\frac{\pi}{4hs}} K_{\sigma+\nu_2}(2hs) \left. \right] \end{aligned} \quad (2.7)$$

$$\Psi_{0n}^L = -\frac{1}{\sqrt{r}} [B_n^L(s) K_{n+1/2}(r\eta s) \mp (-1)^n \frac{2n+1}{n(n+1)} I_{n+1/2}(r\eta s) \times \\ \times \sum_{p=1}^{\infty} (-1)^p B_p^L(s) \sum_{\sigma=|p-n|}^{n+p} b_{\sigma}^{(n|p|)} \sqrt{\frac{\pi}{4h\eta s}} K_{\sigma+1/2}(2h\eta s)] \quad (2.8)$$

где $b_{\sigma}^{(n|p|)}$, $b_{\sigma}^{(n|p|)}$ — коэффициенты Клебша—Гордона [4].

Соотношения (2.1), (2.3), (2.7) и (2.8) совместно с формулами связи коэффициентов разложений в ряды изображений напряжений, перемещений и потенциалов [3] могут быть сведены к совокупности четырех бесконечных алгебраических систем уравнений относительно $A_i^L(s)$, $B_i^L(s)$, $u_{in}^L(s)$ и $\Phi_{in}^L(s)$, которые запишем в матричной форме ($i = 1, 2, 3, 4$):

$$(F_i^{(1)}XY - F_i^{(2)}XZ^2V + M_iZ^2V) A + (T_i^{(1)}YZ - T_i^{(2)}YZV^2 + \\ + N_iZV^2) B + L_iUZV + K_i\Phi ZV = P_iZV \quad (2.9)$$

$$A = \|A_0^L, A_1^L, \dots\|^T, \quad B = \|B_1^L, B_2^L, \dots\|^T, \quad U = \|u_{11}^L, u_{12}^L, \dots\|^T$$

$$\Phi = \|\Phi_{11}^L, \Phi_{12}^L, \dots\|^T, \quad P_1 = \|q_{s1}^L, q_{s2}^L, \dots\|^T, \quad P_2 = \|p_{s1}^L, p_{s2}^L, \dots\|^T$$

$$P_3 = P_4 = 0, \quad F_i^{(k)} = \|F_{inp}^{(k)}\|, \quad M_i = \|M_{inp}\delta_{np}\| \quad (n, p \geq 0)$$

$$T_i^{(k)} = \|T_{inp}^{(k)}\|, \quad N_i = \|N_{inp}\delta_{np}\|, \quad L_i = \|L_{inp}\delta_{np}\|$$

$$K_i = \|K_{inp}\delta_{np}\| \quad (n, p \geq 1) \quad (k = 1, 2)$$

$$X = e^{-2hs}, \quad Y = e^{-2h\eta s}, \quad Z = e^{-s}, \quad V = e^{-\eta s}$$

Здесь δ_{np} — символ Кронекера; A , B , U , Φ и P_i — бесконечные столбцы; $F_i^{(k)}$, $T_i^{(k)}$, M_i , N_i , L_i и K_i — бесконечные матрицы (последние четыре — диагональные). Элементы этих матриц, полученные с учетом связи функций $I_{n+1/2}(x)$ и $K_{n+1/2}(x)$ с элементарными, являются рациональными функциями параметра s и имеют следующий вид ($i = 1, 3, 2, 4$; $k = 1, 2$):

$$F_{inp}^{(k)}(s) = f_{in}^{(k)}(s) C_{np}(s), \quad T_{inp}^{(k)}(s) = t_{in}^{(k)}(s) S_{np}(s)$$

$$f_{1n}^{(2)}(s) = f_{1n}^{(1)}(-s) = M_{1nn}(s) = l_{12n}R_{n1}(s) - k_0Q_{n2}(s), \quad k_0 = \alpha_0\beta_0/\beta_1$$

$$f_{2n}^{(2)}(s) = f_{2n}^{(1)}(-s) = M_{2nn}(s) = (l_{22n} - \gamma_1^2 s^2) R_{n1}(s) - k_0Q_{n2}(s)$$

$$f_{3n}^{(2)}(s) = f_{3n}^{(1)}(-s) = M_{3nn}(s) = l_{32n}R_{n1}(s)$$

$$f_{4n}^{(2)}(s) = f_{4n}^{(1)}(-s) = M_{4nn}(s) = Q_{n2}(s) - k_{10}R_{n0}(s)$$

$$t_{1n}^{(2)}(s) = t_{1n}^{(1)}(-s) = [l_{12n}R_{n0}(\eta s) - k_0Q_{n3}(\eta s)] n^{-1} (n+1)^{-1} / \eta^n$$

$$t_{2n}^{(2)}(s) = t_{2n}^{(1)}(-s) = [(l_{22n} - \gamma_1^2 s^2) R_{n0}(\eta s) - k_0Q_{n2}(\eta s)] / \eta^n$$

$$t_{3n}^{(2)}(s) = t_{3n}^{(1)}(-s) = l_{32n}R_{n0}(\eta s) / \eta^n$$

$$t_{4n}^{(2)}(s) = t_{4n}^{(1)}(-s) = \eta^{-n} [Q_{n3}(\eta s) - k_{10}R_{n0}(\eta s)] / [n(n+1)]$$

$$N_{1nn}(s) = n(n+1) t_{1n}^{(2)}(s), \quad N_{3nn}(s) = n(n+1) t_{3n}^{(2)}(s)$$

$$N_{2nn}(s) = n(n+1) [(l_{22n} - \gamma_1^2 s^2) R_{n1}(\eta s) - k_0Q_{n2}(\eta s)] / \eta^n$$

$$N_{4nn}(s) = [Q_{n2}(\eta s) - k_{10}R_{n0}(\eta s)] / \eta^n$$

$$L_{1nn}(s) = (\gamma_1^2 s^2 - l_{11n}) s^n, \quad L_{2nn}(s) = -l_{21n} s^n, \quad L_{3nn}(s) = -l_{31n} s^n$$

$$L_{4nn}(s) = k_{10}s^n, \quad K_{1nn}(s) = -l_{13n}s^n, \quad K_{2nn}(s) = -l_{23n}s^n$$

$$K_{3nn}(s) = (\gamma_1^2 s^2 - l_{33n}) s^n, \quad K_{4nn}(s) = \delta_1 k_{10}s^n/2$$

$$C_{np}(s) = \sum_{\sigma=|p-n|}^{n+p} b_{\sigma}^{(n+p)} r_{\sigma np}(2hs), \quad S_{np}(s) = \sum_{\sigma=|n-p|}^{n+p} b_{\sigma}^{(n+p)} r_{\sigma np}(2h\eta s)$$

$$r_{\sigma np}(s) = \mp (-1)^{\rho} (2n+1) s^{-\sigma-1} R_{\sigma 0}(s)/2 \quad (2.10)$$

Многочлены $R_{n0}(s)$, $R_{nk}(s)$ и $Q_{nk}(s)$ ($k = 1, 2, 3$), входящие в формулы (2.10), приведены в [3].

Решение системы (2.9) представим в виде рядов по экспонентам, что позволяет отказаться от использования редукции

$$\begin{aligned} \mathbf{A} &= \sum_{i,j,k,l=0}^{\infty} \mathbf{a}_{ijkl}(s) X^i Y^j Z^{-k+1} V^{-l}, \quad \mathbf{B} = \sum_{i,j,k,l=0}^{\infty} \mathbf{b}_{ijkl}(s) X^i Y^j Z^{-k+2} V^{-l-1} \\ \mathbf{U} &= \sum_{i,j,k,l=0}^{\infty} \mathbf{u}_{ijkl}(s) X^i Y^j Z^{-k+2} V^{-l}, \quad \Phi = \sum_{i,j,k,l=0}^{\infty} \Phi_{ijkl}(s) X^i Y^j Z^{-k+2} V^{-l} \end{aligned} \quad (2.11)$$

Здесь $\mathbf{a}_{ijkl}(s)$, $\mathbf{b}_{ijkl}(s)$, $\mathbf{u}_{ijkl}(s)$ и $\Phi_{ijkl}(s)$ — бесконечные векторы соответственно с элементами $a_{ijkl}^{(n)}(s)$ ($n \geq 0$), $b_{ijkl}^{(n)}(s)$, $u_{ijkl}^{(n)}(s)$, $\Phi_{ijkl}^{(n)}(s)$ ($n \geq 1$).

Подставляя (2.11) в систему (2.9) и приравнивая коэффициенты при одинаковых степенях X , Y , Z и V , получим рекуррентные соотношения для $\mathbf{a}_{ijkl}(s)$, $\mathbf{b}_{ijkl}(s)$, $\mathbf{u}_{ijkl}(s)$ и $\Phi_{ijkl}(s)$ (в силу громоздкости они не приводятся) и следующие начальные условия к ним:

$$a_{0000}^{(n)} = \Delta_1/\Delta_0, \quad b_{0000}^{(n)} = \Delta_2/\Delta_0, \quad u_{0000}^{(n)} = \Delta_3/\Delta_0, \quad \Phi_{0000}^{(n)} = \Delta_4/\Delta_0$$

$$\mathbf{a}_{0jkl} = 0 \quad (j, k, l \geq 1), \quad \mathbf{a}_{ijkl} = 0 \quad (i, j, k \geq 1) \quad (2.12)$$

$$\mathbf{a}_{ijl} = 0 \quad (i, j \geq 1, l \geq 0), \quad \mathbf{a}_{i0kl} = 0 \quad (i \geq 0; k, l \geq 2)$$

$$\mathbf{a}_{i00l} = 0 \quad (i \geq 0, l \geq 1), \quad \mathbf{a}_{i0kl} = 0 \quad (i \geq 0, k \geq 1)$$

$$\mathbf{a}_{i00l} = \mathbf{a}_{0j0l} = 0 \quad (j \geq 1)$$

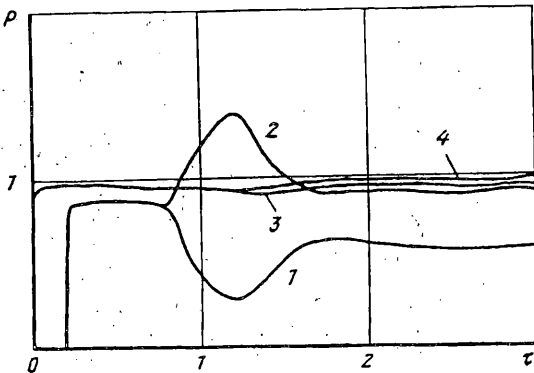
$$\Delta_0 = \det \mathbf{M}, \quad \mathbf{M} = \|\mathbf{M}_{nn}, \mathbf{N}_{nn}, \mathbf{L}_{nn}, \mathbf{K}_{nn}\|$$

$$\mathbf{M}_{nn} = \|M_{1nn}, M_{2nn}, M_{3nn}, M_{4nn}\|^T, \quad \mathbf{N}_{nn} = \|N_{1nn}, N_{2nn}, N_{3nn}, N_{4nn}\|^T$$

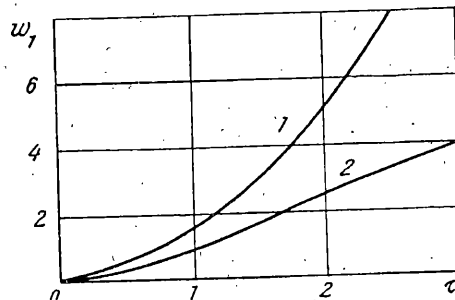
$$\mathbf{L}_{nn} = \|L_{1nn}, L_{2nn}, L_{3nn}, L_{4nn}\|^T, \quad \mathbf{K}_{nn} = \|K_{1nn}, K_{2nn}, K_{3nn}, K_{4nn}\|^T$$

Здесь Δ_i ($i = 1, 2, 3, 4$) — определители, полученные из Δ_0 заменой i -го столбца на столбец $\|q_{sn}, p_{sn}, 0, 0\|^T$. Однородные условия в (2.12) записаны только для столбцов \mathbf{a}_{ijkl} . Для остальных коэффициентов рядов (2.11) они имеют аналогичный вид.

Упомянутые рекуррентные соотношения позволяют определить все элементы столбцов $\mathbf{a}_{ijkl}(s)$, $\mathbf{b}_{ijkl}(s)$, $\mathbf{u}_{ijkl}(s)$, $\Phi_{ijkl}(s)$ в виде рациональных функций, что дает возможность просто вычислить их оригиналы с помощью теории вычетов, и, следовательно, найти оригиналы коэффициентов рядов перемещений u , v , напряжений σ_{rr} , $\sigma_{\theta\theta}$ и кинематических параметров оболочки, u_i , w_i , Φ_i .



Фиг. 1



Фиг. 2

Отметим, что из полученного решения как частный случай следует решение соответствующей задачи для акустической среды при $\eta \rightarrow \infty$.

3. Пример. В качестве примера использования приведенного алгоритма рассмотрим соответствующую задачу для акустического полупространства (вода—сталь). Положим, что $h = 1,5$, и к внутренней поверхности оболочки приложена нормальная нагрузка $p_s = H(\tau)$, $q_s = 0$.

На фиг. 1 приведены графики изменения гидродинамического давления в точке $r = 1, 2$, $\theta = \pi$ среды и на поверхности оболочки $r = 1$, $\theta = \pi$ (кривые 1, 3 соответствуют свободной поверхности, а кривые 2, 4 — жесткой стенке). На фиг. 2 показаны графики радиального перемещения оболочки w_1 (кривая 1 получена для свободной поверхности, а кривая 2 для жесткой стенки). При вычислениях удерживалось четыре члена ряда по полиномам Лежандра.

Работа выполнена при финансовой поддержке Российского фонда фундаментальных исследований (РФФИ). Код проекта 93-013-16508.

СПИСОК ЛИТЕРАТУРЫ

1. Бабаев А. Э. Задачи дифракции нестационарных волн на оболочках, расположенных вблизи плоской границы. // Прикл. мех. 1989. Т. 25. № 1. С. 71—83.
2. Горшков А. Г., Тарлаковский Д. В., Шукров А. М. Дифракция нестационарных волн на сферической полости в упругом полупространстве. // Изв. АН. МТТ. 1992. № 5. С. 43—47.
3. Горшков А. Г., Тарлаковский Д. В. Нестационарная аэрогидроупругость тел сферической формы. М.: Наука, 1990. 264 с.
4. Иванов Е. А. Дифракция электромагнитных волн на двух телах. Минск: Наука и техника, 1968. 384 с.
5. Справочник по специальным функциям с формулами, графиками и математическими таблицами. / Под. ред. Абрамовица М., Стиган И. М.: Наука, 1979, 832 с.

Москва

Поступила в редакцию
6.IV.1995